

PROPRIÉTÉS D'ISOTROPIE POUR LES SCHÉMAS DE BOLTZMANN SUR RÉSEAU : APPLICATION À L'ACOUSTIQUE

Adeline Augier¹, François Dubois^{1,2}, Benjamin Graille¹

¹Laboratoire de Mathématiques Université Paris-Sud XI

²Conservatoire National des Arts et Métiers

SMAI 2011
26 mai 2011

PLAN

① INTRODUCTION À LA MÉTHODE

② ISOTROPIE

③ PERSPECTIVES

PLAN

① INTRODUCTION À LA MÉTHODE

② ISOTROPIE

③ PERSPECTIVES

EQUATION DE BOLTZMANN

Modélisation d'un écoulement fluide visqueux

Equation de Boltzmann

$$\frac{\partial f}{\partial t} + \mathbf{v} \cdot \nabla f = Q(f), \text{ où}$$

- f est la **densité** de particules,
- \mathbf{v} la **vitesse** des particules,
- Q est l'opérateur de **collision**.

Linéarisation de l'opérateur de collision (pour l'acoustique)
autour de l'équilibre

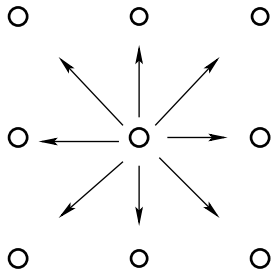
Linéarisation de l'équation de Boltzmann

$$\frac{\partial f}{\partial t} + \mathbf{v} \cdot \nabla f = -\frac{1}{\tau} \cdot (f - f^{\text{eq}}),$$

où τ est le temps de **relaxation** à l'équilibre.

DISCRÉTISATION 1/2

- $J + 1$ vitesses et distributions
- Réseau discret tel que
 - ✓ pas de temps Δt
 - ✓ pas d'espace Δx
 - ✓ Paramètre $\lambda = \frac{\Delta x}{\Delta t}$
 - ✓ $x \in \mathcal{L} \Rightarrow x + \mathbf{v}_i \Delta t \in \mathcal{L}$



Exemple : D2Q9

- D : dimension
- Q : vitesse

DISCRÉTISATION 2/2

EDP discrétisée

$$\frac{\partial f_j}{\partial t} + \mathbf{v}_j \cdot \nabla f_j = -\frac{1}{\tau_j} \cdot (f_j - f_j^{\text{eq}}), \quad 0 \leq j \leq J.$$

- **A choisir :**
 - ✓ Les $J + 1$ vitesses \mathbf{v}_j
 - ✓ Les $J + 1$ caractéristiques du retour à l'équilibre τ_j
- **Inconnues :**
 - ✓ Les $J + 1$ densités de particules f_j

Différents types de schémas

- **BGK** : $\tau_j = \tau, \forall 0 \leq j \leq J$
- **TRT** : $\tau_j = \tau_0$ ou τ_1 (suivant la parité du moment)
- **MRT** : $\tau_j \neq \tau_k, \forall 0 \leq j \neq k \leq J$

IDÉE DE LA MÉTHODE

$$\frac{\partial f_j}{\partial t} + \mathbf{v}_j \cdot \nabla f_j = -\frac{1}{\tau_j} \cdot (f_j - f_j^{\text{eq}}), \quad 0 \leq j \leq J.$$

Schéma de Boltzmann sur réseau

Description des $J + 1$ distributions de particules $f_j(x, t)$ en $x \in \mathcal{L}$ de vitesse v_j à l'instant t .

On passe du temps t au temps $t + \Delta t$ en deux étapes

- **collision** : redistribution des densités en chaque noeuds

$$\frac{\partial f_j^*}{\partial t} = -\frac{1}{\tau_j} \cdot (f_j - f_j^{\text{eq}})$$

- **advection** : transport des particules vers ses noeuds voisins

$$\frac{\partial f_j}{\partial t} + \mathbf{v}_j \cdot \nabla f_j = 0$$

ALGORITHME DE D'HUMIÈRES POUR LE SCHÉMA D2Q9

On suppose connus :

- les vitesses,
- les temps de relaxation.

① Collision

- Choix des 9 moments à l'équilibre :
 - ✓ 3 moments conservés : densité ρ et impulsion \vec{q}
 - ✓ 6 moments non conservés définis à l'équilibre comme combinaison linéaire des moments conservés
- Relaxation des moments hors équilibre

$$m_j^* := (1 - s_j)m_j + s_k m_j^{\text{eq}} \text{ où } s_j = \Delta t / \tau_j, j \geq 3.$$

- Retour à l'espace des particules avec le calcul de la distribution $f^* = M^{-1}m^*$.

② Advection par la méthode des caractéristiques

$$f_j(x + v_j \Delta t, t + \Delta t) = f_j^*(x, t), \quad x \in \mathcal{L}, \quad 0 \leq j \leq 8$$

DÉFINITION DES MOMENTS

Moments conservés :

- densité macroscopique $\rho = \sum_{0 \leq j \leq J} f_j$
- impulsion macroscopique $\vec{q} = \sum_{0 \leq j \leq J} v_j f_j$

Autres moments pour le D2Q9 :

- énergie cinétique : $\varepsilon = \sum |v_j|^2 f_j$, ordre 2,
- carré énergie : $\varepsilon^2 = \sum (1/2|v_j|^2)^2 f_j$, ordre 4,
- flux de chaleur : $\varphi = \sum 1/2|v_j|^2 v_j f_j$, ordre 3,
- $\varphi_{XX} = \sum (v_j^1)^2 f_j - \sum (v_j^2)^2 f_j$, ordre 2,
- $\varphi_{XY} = \sum v_j^1 v_j^2 f_j$, ordre 2,

MOMENTS APRÈS RELAXATION : D2Q9

$$m_j^* := (1 - s_j)m_j + s_k m_j^{\text{eq}} \text{ où } s_j = \Delta t / \tau_j, j \geq 3.$$

	l_3			0
ε	$\theta_1 \lambda^2 s_4$	$\theta_2 \lambda s_4$	$\theta_3 \lambda s_4$	$(1 - s_j) l_6$
φ_{XX}	$a_{x1} \lambda^2 s_{5x}$	$a_{x2} \lambda s_{5x}$	$a_{x3} \lambda s_{5x}$	
φ_{XY}	$a_{y1} \lambda^2 s_{5y}$	$a_{y2} \lambda s_{5y}$	$a_{y3} \lambda s_{5y}$	
φ^x	$c_{11x} \lambda^3 s_{6x}$	$c_{12x} \lambda^2 s_{6x}$	$c_{13x} \lambda^2 s_{6x}$	
φ^y	$c_{11y} \lambda^3 s_{6y}$	$c_{12y} \lambda^2 s_{6y}$	$c_{13y} \lambda^2 s_{6y}$	
ε^2	$\beta_1 \lambda^4 s_{11}$	$\beta_2 \lambda^3 s_{11}$	$\beta_3 \lambda^3 s_{11}$	

Données

- θ_1 : reliée à la vitesse du son
- s_4, s_{5y} : reliés aux viscosités de volume / cisaillement

RELATION AVEC LA PHYSIQUE

Schéma de Boltzmann sur réseau pour le D2Q9

$$f_j(x + v_j \Delta t, t + \Delta t) = f_j^*(x, t), \quad x \in \mathcal{L}, \quad 0 \leq j \leq J.$$

Propriétés

- Ce schéma de Boltzmann sur réseau résout **Navier-Stokes** (méthode d'ordre 2)
- Les **viscosités** (de cisaillement et de volume) s'expriment en fonction des temps de relaxation

- Travail en collaboration avec **Renault / Airbus**
- Objectif garder **deux viscosités** tout en rendant le schéma **isotrope**

PLAN

① INTRODUCTION À LA MÉTHODE

② ISOTROPIE

③ PERSPECTIVES

POSITIONNEMENT DU PROBLÈME

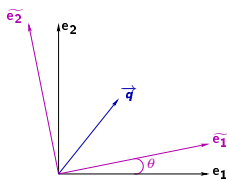
Equations équivalentes (F. Dubois et P. Lallemand)

$$\frac{\partial \mathbf{W}}{\partial t} + {}_1A : \nabla^1 \mathbf{W} + {}_2A : \nabla^2 \mathbf{W} + {}_3A : \nabla^3 \mathbf{W} + {}_4A : \nabla^4 \mathbf{W} = 0,$$

$$\text{où } ({}_1A : \nabla^1 \mathbf{W})^i = \left(\sum_{\substack{0 \leq j \leq 2 \\ 1 \leq \alpha \leq 2}} {}_1A_i^{\alpha j} \partial_\alpha \mathbf{W}^j \right)^i$$

- \mathbf{W} est le vecteur des moments conservés
- les tenseurs ${}_N A$ dépendent
 - ✓ des temps de relaxation,
 - ✓ de l'écriture des moments non conservés.
- Obtenues par développement de limité à partir du schéma
- Code *Maple* qui donne les équations aux différents ordres

RAISONNEMENT



- Ecriture de l'équation de conservation pour $\widetilde{\mathbf{W}}$
- **But** : les deux équations doivent être les mêmes pour tout θ :

$$R_N \widetilde{\mathbf{A}} : \widetilde{\nabla}^N \mathbf{W} = {}_N \mathbf{A} : \nabla^N \mathbf{W}.$$

- Cela donne une **relation** sur les ${}_N \widetilde{\mathbf{A}}$

Relations ancienne base / nouvelle base

- $\mathbf{W} = R \widetilde{\mathbf{W}}$,
- $\partial_\alpha \mathbf{W}^i = \sum_{\substack{0 \leq j \leq 2 \\ 1 \leq \beta \leq 2}} R_j^i (r^{-1})_\alpha^\beta \tilde{\partial}_\beta \widetilde{\mathbf{W}}^j.$

RELATIONS

Condition d'isotropie (à rajouter dans le code *Maple*)

$${}_1\tilde{A}_j^{\beta l} = \sum_{\substack{1 \leq \alpha \leq 2 \\ 0 \leq k \leq 2}} (R)_k^l {}_1A_i^{\alpha k} (R^{-1})_j^i (r^{-1})_\alpha^\beta.$$

A titre d'exemple pour le **D2Q9** :

- 3*3*2 équations
- 9-3=6 temps de relaxations
- 6*3 coefficients de linéarité (description des moments à l'équilibre)

RÉSULTATS

Résultats sur l'isotropie

- Le schéma D2Q9 est **isotrope à l'ordre 3** avec possibilité de choisir plusieurs temps de relaxation
- Le schéma D2Q9 est **isotrope à l'ordre 4** avec deux temps de relaxation
- Le schéma D2Q13 est **isotrope à l'ordre 3** avec plusieurs temps de relaxation
- Le schéma D2Q13 **n'est pas isotrope à l'ordre 4**

Bonus

Schéma isotrope \Rightarrow relations cohérentes par rapport au caractère **scalaire / vectoriel** des objets manipulés.

Exemple : l'**énergie**, moment non conservé, est bien proportionnelle à la densité.

PLAN

① INTRODUCTION À LA MÉTHODE

② ISOTROPIE

③ PERSPECTIVES

TRAVAIL EN COURS

- ① D2Q9 / D2Q13
 - Comparer résultats avec ceux déjà publiés
 - Simulations numériques pertinentes
- ② En dimension 3
 - D3Q19,
 - D3Q27.
- ③ Quelle influence sur la **stabilité** des schémas ?